

## 肉豆蔻化学成分及抗炎活性研究

肖雯雯, 万仁山, 张红林, 曾天艳, 白梦微, 李大山, 邵立东<sup>\*</sup>  
(云南中医药大学, 云南 昆明 650500)

**摘要:** 目的 研究肉豆蔻(*Myristica fragrans* Houtt.)石油醚与乙酸乙酯部位的化学成分及其抗炎活性。  
**方法** 综合运用正、反相硅胶, 制备薄层, Sephadex LH-20 凝胶, 半制备液相色谱等方法进行分离纯化, 并结合 <sup>1</sup>H 和 <sup>13</sup>C NMR 分析鉴定化合物的结构。采用 Griess 法测定化合物对 LPS 诱导的 RAW264.7 细胞产生 NO 的抑制活性。  
**结果** 从肉豆蔻石油醚和乙酸乙酯部位分离得到 15 个化合物, 分别鉴定为 2-(4-烯丙基-2,6-二甲氧基苯氧基)-1-(4-羟基-3-甲氧基苯基)丙烷(1)、肉豆蔻异木脂素(2)、4-(2-(4-烯丙基-2,6-二甲氧基苯氧基)-1-羟丙基)-2,6-二甲氧基苯酚(3)、(E)-4-(1-羟基-2-(2-甲氧基-4-(丙烯基)苯氧基)丙基)-2-甲氧基苯酚(4)、(-)-miliusfragrin(5)、去氢二异丁香酚(6)、反式-2,3-二氢-7-甲氧基-2-(3,4-二甲氧基苯基)-3-甲基-5-(1-(E)-丙烯基)苯并呋喃(7)、(-)-eusiderin A(8)、acetyl oleiferin C(9)、补骨脂酚(10)、3-(4-羟基-3-甲氧基苯基)丙烷-1,2-二醇(11)、1-(3,4-二甲氧基苯基)丙烷-2-酮(12)、broussochalcone B(13)、bavachinin(14)、malabaricone C(15)。体外抗炎活性研究结果表明, 化合物 13 和 15 对 LPS 诱导的 RAW 264.7 细胞 NO 释放有较强抑制活性, 其 IC<sub>50</sub> 分别为 8.57 ± 0.11、12.01 ± 1.27 μmol·L<sup>-1</sup>。化合物 1 和 7 显示一定的抑制活性, 其 IC<sub>50</sub> 分别为 34.48 ± 3.05、42.76 ± 1.53 μmol·L<sup>-1</sup>。  
**结论** 化合物 5、8~14 为首次从该属植物中分离得到, 体外抗炎活性研究结果表明, 化合物 13 和 15 对 LPS 诱导的 RAW 264.7 细胞 NO 释放有较强抑制活性, 化合物 1 和 7 显示一定的抑制活性, 化合物 2~6、8~12、14 无活性。

关键词: 肉豆蔻; 化学成分; 二芳基烷烃; 抗炎活性

中图分类号: R284.1; R285.5 文献标志码: A 文章编号: 1000-2723(2023)05-0066-08

DOI: 10.19288/j.cnki.issn.1000-2723.2023.05.013

## Study on the Chemical Constituents and Anti-Inflammatory Activities of *Myristica fragrans*

XIAO Wenwen, WAN Renshan, ZHANG Honglin, ZENG Tianyan, BAI Mengwei, LI Dashan, SHAO Lidong  
(Yunnan University of Chinese Medicine, Kunming 650500, China)

**ABSTRACT:** **Objective** To investigate the chemical constituents and anti-inflammatory activities of petroleumether and ethyl acetate extracts of *Myristica fragrans* Houtt. **Methods** The compounds were separated and purified by using forward and reverse phase silica gel chromatography, preparative thin layer chromatography, sephadex LH-20 and semi-preparative liquid chromatography. The structures of the compounds were identified by comparing the <sup>1</sup>H and <sup>13</sup>C NMR data with those reported in the literatures. The inhibitory activities of the compounds against LPS-induced NO production in RAW264.7 cells were determined by the Griess assay. **Results** Fifteen compounds were isolated from the petroleum ether and ethyl acetate extracts of *Myristica fragrans*, and identified as 2-(4-allyl-2, 6-dimethoxyphenoxy)-1-(4-hydroxy-3-methoxyphenoxy)propane (1), iso-lignan (2), 4-(2-(4-allyl-2, 6-dimethoxyphenoxy)-1-hydroxypropyl)-2, 6-dimethoxyphenol (3), (E)-4-(1-hydroxy-2-(2-methoxy-4-(propenyl) phenoxy) propyl)-2-methoxyphenol (4), (-)-miliusfragrin (5), dehydro-diisoeugenol (6), trans-2, 3-dihydro-7-methoxy-2-(3,4-dimethoxy-phenyl)-3-methyl-5-(1-(E)-propenyl) benzofuran (7),

**基金项目:** 云南省科技人才和平台计划(202005AG070157, 202105AG070012); 云南省科技厅科技计划项目-中医联合专项(202001AZ070001-090, 202101AZ070001-202); 云南省教育厅科技创新团队项目(2022)

**作者简介:** 肖雯雯(1997-), 女, 在读硕士研究生, E-mail: 1223039620@qq.com

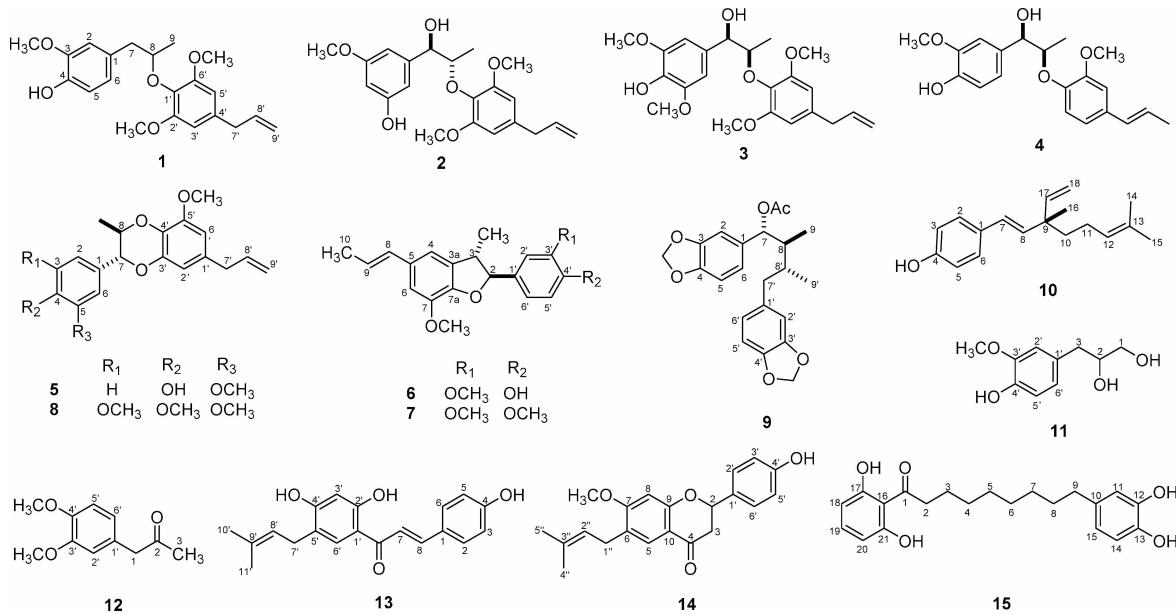
\* **通信作者:** 邵立东(1984-), 男, 研究员, 研究方向: 天然药物化学、中药化学, E-mail: shaolidong@ynutcm.edu.cn

(*-*)-eusiderin A (**8**), acetyl oleiferin C (**9**), psoralen (**10**), 3-(4-hydroxy-3-methoxyphenyl)propane-1, 2-diol (**11**), 1-(3, 4-dimethoxyphenyl)propan-2-one (**12**), broussochalcone B (**13**), bavachinin (**14**), malabaricone C (**15**). The *in vitro* anti-inflammatory activity assay showed that compounds **13** and **15** strongly inhibited LPS-induced NO release in RAW 264.7 cells with IC<sub>50</sub> values of  $8.57 \pm 0.11$  and  $12.01 \pm 1.27 \mu\text{mol} \cdot \text{L}^{-1}$ , respectively. Compounds **1** and **7** showed moderate inhibitory activities with IC<sub>50</sub> of  $34.48 \pm 3.05$  and  $42.76 \pm 1.53 \mu\text{mol} \cdot \text{L}^{-1}$ , respectively. **Conclusion** Compounds **5** and **8~14** were isolated from *Myristica fragrans* for the first time. The *in vitro* anti-inflammatory activity assay showed that compounds **13** and **15** strongly inhibited LPS-induced NO release in RAW 264.7 cells, compounds **1** and **7** showed moderate inhibitory activities, compounds **2~6**, **8~12**, and **14** have no activity.

**KEY WORDS:** *Myristica fragrans*; chemical compositions; diaryl alkanes; anti-inflammatory activity

肉豆蔻为肉豆蔻科 (*Myristicaceae*) 肉豆蔻属 (*Myristica*) 植物肉豆蔻 (*Myristica fragrans* Houtt.) 的干燥种仁, 又名豆蔻、玉果、肉果等, 为肉豆蔻科乔木植物, 主要分布于巴西、马来西亚、印度、印度尼西亚及西印度群岛等热带地区, 我国台湾、广西、海南、广东、云南等地亦有引种栽培<sup>[1]</sup>。肉豆蔻为传统中药材, 历版《中国药典》均有记载, 其性温, 味辛, 归脾、胃、大肠经, 具有温中行气、涩肠止泻等功效, 用于治疗脾胃虚寒, 久泻不止, 腹胀痛, 食少呕吐等症<sup>[2]</sup>。化学成分研究表明, 肉豆蔻主要含有挥发油、苯丙素类、木脂素类、二芳基烷烃类、黄酮类等多种化学成分<sup>[3~10]</sup>。现代药理活性研究表明, 肉豆蔻具有抗炎镇痛<sup>[11~13]</sup>、抗氧化<sup>[4, 13]</sup>、抗菌<sup>[14]</sup>、抗肿瘤<sup>[8]</sup>、降血糖<sup>[6, 15]</sup>等多方面药理活性。为深入开展对肉豆蔻化学成分的分离鉴定、药理活性筛选研究, 以期为肉豆蔻的进一步研究和开发利用提供科学依据。本实验对肉豆蔻的石油醚与乙酸乙酯部位进行化学成分研究, 从中分离得到 15 个化合

物, 分别鉴定为化合物 **1**:2-(4-烯丙基-2,6-二甲氧基苯氧基)-1-(4-羟基-3-甲氧基苯基)丙烷[2-(4-allyl-2,6-dimethoxyphenoxy)-1-(4-hydroxy-3-methoxyphenyl)propane]; 化合物 **2**:肉豆蔻异木脂素 (iso-lignan); 化合物 **3**:4-(2-(4-烯丙基-2,6-二甲氧基苯氧基)-1-羟丙基)-2,6-二甲氧基苯酚[4-(2-(4-allyl-2,6-dimethoxyphenoxy)-1-hydroxypropyl)-2,6-dimethoxyphenol]; 化合物 **4**:(*E*)-4-(1-羟基-2-(2-甲氧基-4-(丙烯基)苯氧基)丙基)-2-甲氧基苯酚 [(*E*)-4-(1-hydroxy-2-(2-methoxy-4-(propenyl)phenoxy)propyl)-2-methoxyphenol]; 化合物 **5**:(*-*)-miliusfragrin、化合物 **6**:去氢二异丁香酚 (dehydron-isoeugenol); 化合物 **7**:反式-2,3-二氢-7-甲氧基-2-(3,4-二甲氧基苯基)-3-甲基-5-(1-(*E*-丙烯基)苯并呋喃 [*trans*-2,3-dihydro-7-methoxy-2-(3,4-dimethoxyphenyl)-3-methyl-5-(1-(*E*-propenyl)benzofuran)]; 化合物 **8**:(*-*)-eusiderin A、化合物 **9**:



acetyl oleiferin C、化合物 **10**:补骨脂酚(psoralen)、化合物 **11**:3-(4-羟基-3-甲氧苯基)丙烷-1,2-二醇[3-(4-hydroxy-3-methoxyphenyl)propane-1,2-diol]、化合物 **12**:1-(3,4-二甲氧基苯基)丙烷-2-酮[1-(3,4-dimethoxyphenyl)propan-2-one]、化合物 **13**:broussochalcone B、化合物 **14**:bavachinin、化合物 **15**:malabaricone C。化合物 **5,8~14** 为首次从该属植物中分离得到。通过 LPS 诱导 RAW 264.7 巨噬细胞 NO 释放抗炎模型, 对所得化合物进行体外抗炎活性研究, 结果表明, 化合物 **13** 和 **15** 对 LPS 诱导的 RAW 264.7 细胞 NO 释放有较强抑制活性, 其  $IC_{50}$  分别为  $8.57 \pm 0.11$  和  $(12.01 \pm 1.27)\mu\text{mol}\cdot\text{L}^{-1}$ 。化合物 **1** 和 **7** 显示一定抑制活性, 其  $IC_{50}$  分别为  $34.48 \pm 3.05$  和  $(42.76 \pm 1.53)\mu\text{mol}\cdot\text{L}^{-1}$ 。

## 1 材料与方法

1.1 仪器与材料 Bruker AVANCE-III (500、600 MHz)型核磁共振波谱仪(德国 Bruker 公司);Agilent 6540 Q-TO 型质谱仪(美国 Agilent 公司);RPC<sub>18</sub> 半制备色谱柱 (10 mm × 250 mm, 5 μm, 美国 Agilent 公司);色谱硅胶 (200~300 目, 青岛海洋化工厂);GF254 薄层色谱硅胶(青岛海洋化工厂);LH-20 羟丙基葡聚糖凝胶(Sephadex LH-20, 美国 Pharmacia 公司);反相中压和常压材料(ODS, 德国 Merck 公司);薄层色谱显色剂(10% 硫酸乙醇溶液);石油醚、二氯甲烷、氯仿、乙酸乙酯、丙酮、甲醇等试剂为重蒸的工业或化学纯溶剂;色谱甲醇(上海星可高纯溶剂有限公司)。

药材样品采购于昆明市螺蛳湾药材市场, 经云南中医药大学董发武副教授鉴定为肉豆蔻(*Myristica fragrans* Houtt.)的种仁, 凭证标本(YNYZ20190503)现存于云南中医药大学中药学院科研实验室。

1.2 提取与分离 粉碎过后的肉豆蔻种仁 20 kg, 先用水蒸气蒸馏法提取挥发油大约 150 mL, 剩余的药渣用 70% 的乙醇浸泡提取 2 次, 每次 48 h, 将两次的提取液进行合并, 减压回收至无醇味, 剩余的水相分别使用石油醚、乙酸乙酯、正丁醇进行萃取。分别合并 3 部位的萃取液, 减压浓缩后分别得到石油醚部位萃取物 790 g, 乙酸乙酯部位萃取物 240 g, 正丁醇部位萃取物 220 g。

将石油醚部位萃取物 (790 g) 过中压反相, 以

(70%、80%、95% 和 100%) 甲醇-水梯度洗脱, 得到 9 个流分段(Fr.1~Fr.9)。Fr.3(48.6 g)经硅胶柱色谱, 以石油醚-乙酸乙酯(100:1~1:1)梯度洗脱, 得到 6 个流分段(Fr.3.1~Fr.3.6)。Fr.3.6(690.3 mg)经反复的制备薄层、半制备液相得到化合物 **1**(8.3 mg)、**2**(9.7 mg)、**3**(6.1 mg)、**4**(6.9 mg)。Fr.4(56 g)经硅胶柱色谱, 以石油醚-乙酸乙酯(100:1~1:1)梯度洗脱, 得到 6 个流分段(Fr.4.1~Fr.4.6)。Fr.4.4(2.8 g)经 Sephadex LH-20 色谱, 氯仿-甲醇(3:2), 反复制备薄层, 得到化合物 **5**(9 mg)。Fr.5(20.2 g)经硅胶柱色谱, 以石油醚-二氯甲烷-乙酸乙酯(30:1:1~1:1)梯度洗脱, 得到 7 个流分段(Fr.5.1~Fr.5.7)。Fr.5.4(861.6 mg)经 Sephadex LH-20 凝胶色谱, 氯仿-甲醇(3:2), 制备薄层得到化合物 **6** (18.2 mg)、**7** (10.6 mg)。Fr.5.6(1.8 g)经 Sephadex LH-20 凝胶色谱, 氯仿-甲醇(3:2)、制备薄层得到化合物 **8**(5.7 mg)。Fr.6(52.2 g)经硅胶柱色谱, 以石油醚-乙酸乙酯(40:1~1:1)梯度洗脱, 得到 7 个流分段(Fr.6.1~Fr.6.7)。Fr.6.4(2 g)经 Sephadex LH-20 色谱、硅胶柱色谱、反复制备薄层得到化合物 **9**(8 mg)、**10**(27.7 mg)。

将乙酸乙酯部位(240 g)过中压反相, 以(20%~100%) 甲醇-水梯度洗脱, 得到 12 个流分段(Fr.1~Fr.12)。Fr.2(2.2 g)经 Sephadex LH-20 凝胶色谱, 氯仿-甲醇(3:2), 得到 6 个流分段(Fr.2.1~Fr.2.6)。Fr.2.1(161.6 mg)经硅胶柱色谱, 以石油醚-二氯甲烷-丙酮(2:1:1)为洗脱剂得到化合物 **11** (37.3 mg)。Fr.4(10.8 g)经 Sephadex LH-20 色谱, 氯仿-甲醇(3:2), 得到 3 个流分段(Fr.4.1~Fr.4.3)。Fr.4.1(2.4 g)经反相柱色谱、Sephadex LH-20 凝胶色谱, 氯仿-甲醇(3:2)、硅胶柱色谱得到化合物 **12**(10.1 mg)。Fr.10(19 g)经硅胶柱色谱, 以石油醚-二氯甲烷-乙酸乙酯(50:1:1~1:1)梯度洗脱, 得到 7 个流分段(Fr.10.1~Fr.10.7)。Fr.10.6(552.5 mg)经 Sephadex LH-20 凝胶色谱, 氯仿-甲醇(3:2)、制备薄层得到化合物 **13**(10.1 mg)、**14**(10 mg)。Fr.10.7(3.2 g)经 Sephadex LH-20 凝胶色谱, 氯仿-甲醇(3:2)、制备薄层得到化合物 **15**(85 mg)。

## 1.3 结构鉴定

化合物 **1**: 黄色油状物, ESI-MS  $m/z$ : 381.1672 [M+Na]<sup>+</sup>, 分子式为  $C_{21}H_{26}O_5$ 。<sup>1</sup>H-NMR (CDCl<sub>3</sub>, 500

MHz) $\delta$ : 6.81(1H, d,  $J=8.0$  Hz, H-5), 6.76(1H, d,  $J=1.7$  Hz, H-2), 6.69 (1H, dd,  $J=8.0$  Hz, 1.7 Hz, H-6), 6.40 (2H, s, H-3', H-5'), 5.93~6.01 (1H, m, H-8'), 5.47 (1H, s, 4-OH), 5.08~5.13 (2H, m, H-9'), 4.29~4.35 (1H, m, H-8), 3.86 (3H, s, 3-OCH<sub>3</sub>), 3.79 (6H, s, 2'-OCH<sub>3</sub>, 6'-OCH<sub>3</sub>), 3.34 (2H, d,  $J=6.7$  Hz, H-7'), 3.12 (1H, dd,  $J=13.5$ , 5.1 Hz, H-7b), 2.72 (1H, dd,  $J=13.5$  Hz, 8.3 Hz, H-7a), 1.19 (3H, d,  $J=6.2$  Hz, H-9); <sup>13</sup>C NMR (CDCl<sub>3</sub>, 125 MHz) $\delta$ : 153.6(C-2', C-6'), 146.1(C-3), 143.8(C-4), 137.3(C-8'), 135.5(C-1'), 134.3(C-1), 131.0(C-4'), 122.1(C-6), 116.0(C-9'), 113.9(C-5), 112.2(C-2), 105.5(C-3', C-5'), 80.2(C-8), 56.0(OCH<sub>3</sub>), 55.9(OCH<sub>3</sub>), 42.9(C-7), 40.6(C-7'), 19.6(C-9)。以上波谱数据与文献报道基本一致<sup>[16]</sup>, 故鉴定化合物**1**为2-(4-烯丙基-2,6-二甲氧基苯氧基)-1-(4-羟基-3-甲氧基苯基)丙烷。

**化合物2:**无色油状物,ESI-MS  $m/z$ : 397.1622 [M+Na]<sup>+</sup>, 分子式为C<sub>21</sub>H<sub>26</sub>O<sub>6</sub>。<sup>1</sup>H-NMR (CDCl<sub>3</sub>, 500 MHz) $\delta$ : 6.88 (1H, s, H-4), 6.84 (2H, s, H-2, H-6), 6.44 (2H, s, H-3', H-5'), 5.97 (1H, m, H-8'), 5.60 (1H, s, 5-OH), 5.09~5.14(2H, m, H-9'), 4.94(1H, s, 7-OH), 4.61(1H, d,  $J=8.6$  Hz, H-7), 3.92(1H, dq,  $J=8.5$  Hz, 6.3 Hz, H-8), 3.87(3H, s, 3-OCH<sub>3</sub>), 3.86(6H, s, 2'-OCH<sub>3</sub>, 6'-OCH<sub>3</sub>), 3.35(2H, d,  $J=6.7$  Hz, H-7'), 1.18(3H, d,  $J=6.3$  Hz, H-9); <sup>13</sup>C NMR (CDCl<sub>3</sub>, 125 MHz) $\delta$ : 152.8(C-2', C-6'), 146.6(C-3), 145.4(C-5), 137.2(C-8'), 136.0(C-4'), 135.4(C-1), 132.9(C-1'), 120.8(C-6), 116.3(C-9'), 114.1(C-4), 109.6(C-2), 105.6(C-3', C-5'), 86.8(C-7), 79.2(C-8), 56.1(2'-OCH<sub>3</sub>, 6'-OCH<sub>3</sub>), 56.1(3-OCH<sub>3</sub>), 40.7(C-7'), 17.7(C-9)。以上波谱数据与文献报道基本一致<sup>[17]</sup>, 故鉴定化合物**2**为肉豆蔻异木脂素。

**化合物3:**无色油状物,ESI-MS  $m/z$ : 427.1723 [M+Na]<sup>+</sup>, 分子式为C<sub>22</sub>H<sub>28</sub>O<sub>7</sub>。<sup>1</sup>H-NMR (CDCl<sub>3</sub>, 500 MHz) $\delta$ : 6.55(2H, s, H-2, H-6), 6.46(2H, s, H-3', H-5'), 5.94~6.02 (1H, m, H-8'), 5.43 (1H, s, 7-OH), 5.11~5.15 (2H, m, H-9'), 4.78 (1H, d,  $J=2.7$  Hz, H-7), 4.31 (1H, dq,  $J=2.9$  Hz, 6.4 Hz, H-8), 3.87(12H, s, OCH<sub>3</sub> × 4), 3.37(2H, d,  $J=6.7$  Hz, H-7'), 1.11(3H, d,  $J=6.4$  Hz, H-9); <sup>13</sup>C NMR (CDCl<sub>3</sub>, 125 MHz) $\delta$ : 153.7

(C-2', C-6'), 147.0(C-3, C-5), 137.2(C-8'), 136.3(C-1'), 133.7(C-1), 133.2(C-4), 131.3(C-4'), 116.4(C-9'), 105.7(C-3', C-5'), 102.9(C-2, C-6), 82.5(C-7), 73.2(C-8), 56.5(OCH<sub>3</sub> × 2), 56.3(OCH<sub>3</sub> × 2), 40.7(C-7'), 12.9(C-9)。以上波谱数据与文献报道基本一致<sup>[16]</sup>, 故鉴定化合物**3**为4-(2-(4-烯丙基-2,6-二甲氧基苯氧基)-1-羟丙基)-2,6-二甲氧基苯酚。

**化合物4:**黄色油状物,ESI-MS  $m/z$ : 367.1519 [M+Na]<sup>+</sup>, 分子式为C<sub>20</sub>H<sub>24</sub>O<sub>5</sub>。<sup>1</sup>H-NMR (CDCl<sub>3</sub>, 500 MHz) $\delta$ : 6.74~6.98(6H, m, Ar-H), 6.36(1H, dd,  $J=15.7$  Hz, 1.5 Hz, H-7'), 6.12~6.19 (1H, m, H-8'), 5.57 (1H, s, 7-OH), 4.82 (1H, d,  $J=2.9$  Hz, H-7), 4.33 (1H, dq,  $J=3.1$  Hz, 6.4 Hz, H-8), 3.89 (6H, s, OCH<sub>3</sub> × 2), 3.53 (1H, s, 4-OH), 1.88 (3H, dd,  $J=6.6$  Hz, 1.6 Hz, H-9'), 1.17(3H, d,  $J=6.4$  Hz, H-9); <sup>13</sup>C NMR (CDCl<sub>3</sub>, 125 MHz) $\delta$ : 151.7(C-6'), 146.8(C-3), 145.8(C-1'), 144.9(C-4), 133.9(C-4'), 132.0(C-1), 130.6(C-7'), 125.2(C-8'), 120.1(C-6), 119.3(C-3'), 119.2(C-2'), 114.1(C-5), 109.5(C-5'), 109.0(C-2), 82.7(C-7), 73.7(C-8), 56.1(OCH<sub>3</sub>), 56.0(OCH<sub>3</sub>), 18.5(C-9'), 13.5(C-9)。以上波谱数据与文献报道基本一致<sup>[18]</sup>, 故鉴定化合物**4**为(*E*)-4-(1-羟基-2-(2-甲氧基-4-(丙烯基)苯氧基)丙基)-2-甲氧基苯酚。

**化合物5:**无色油状物,ESI-MS  $m/z$ : 343.1550 [M+H]<sup>+</sup>, 分子式为C<sub>20</sub>H<sub>22</sub>O<sub>5</sub>。<sup>1</sup>H-NMR (CDCl<sub>3</sub>, 500 MHz) $\delta$ : 6.94(1H, d,  $J=8.0$  Hz, H-3), 6.87(1H, dd,  $J=8.9, 0.8$  Hz, H-2), 6.85 (1H, s, H-6), 6.47 (1H, d,  $J=1.3$  Hz, H-2'), 6.37(1H, d,  $J=1.5$  Hz, H-6'), 5.95 (1H, ddt,  $J=16.8$  Hz, 10.0 Hz, 6.8 Hz, H-8'), 5.69 (1H, s, 4-OH), 5.05~5.11(2H, m, H-9'), 4.57(1H, d,  $J=7.9$  Hz, H-7), 4.06~4.12(1H, m, H-8), 3.91(3H, s, 5'-OCH<sub>3</sub>), 3.89(3H, s, 3'-OCH<sub>3</sub>), 3.29(2H, d,  $J=6.7$  Hz, H-7'), 1.24(3H, d,  $J=6.4$  Hz, H-9); <sup>13</sup>C NMR (CDCl<sub>3</sub>, 125 MHz) $\delta$ : 148.7(C-5'), 147.0(C-5), 146.4(C-4), 144.6(C-3'), 137.5(C-8'), 132.5(C-1'), 131.5(C-4'), 129.1(C-1), 121.2(C-2), 115.9(C-9'), 114.6(C-3), 109.8(C-6), 109.6(C-2'), 104.7(C-6'), 81.0(C-7), 74.4(C-8), 56.3(3-OCH<sub>3</sub>), 56.2

(5-OCH<sub>3</sub>)，40.2(C-7')，17.4(C-9)。以上波谱数据与文献报道基本一致<sup>[19]</sup>，故鉴定化合物 5 为(-)-miliusfragrin。

**化合物 6：**白色固体，ESI-MS *m/z*: 349.1410 [M+Na]<sup>+</sup>，分子式为 C<sub>20</sub>H<sub>22</sub>O<sub>4</sub>。<sup>1</sup>H-NMR (CDCl<sub>3</sub>, 500 MHz) δ: 6.98 (1H, s, H-2')，6.90 (2H, s, H-5'，H-6')，6.79 (1H, s, H-4)，6.77 (1H, s, H-6)，6.37 (1H, dd, *J*=15.7, 1.5 Hz, H-8)，6.08 ~ 6.15 (1H, m, H-9)，5.67 (1H, s, 4'-OH)，5.10 (1H, d, *J*=9.5 Hz, H-2)，3.90 (3H, s, OCH<sub>3</sub>)，3.88 (3H, s, OCH<sub>3</sub>)，3.42 ~ 3.48 (1H, m, H-3)，1.87 (3H, dd, *J*=6.6, 1.5 Hz, 10-CH<sub>3</sub>)，1.38 (3H, d, *J*=6.8 Hz, 3-CH<sub>3</sub>)；<sup>13</sup>C NMR (CDCl<sub>3</sub>, 125 MHz) δ: 146.8 (C-3')，146.6 (C-7a)，145.9 (C-4')，144.2 (C-7)，133.4 (C-3a)，132.3 (C-5)，132.2 (C-1')，131.0 (C-8)，123.6 (C-9)，120.1 (C-6')，114.2 (C-5')，113.4 (C-4)，109.2 (C-6)，109.0 (C-2')，93.9 (C-2)，56.1 (OCH<sub>3</sub>)，56.0 (OCH<sub>3</sub>)，45.7 (C-3)，18.5 (10-CH<sub>3</sub>)，17.6 (3-CH<sub>3</sub>)。以上波谱数据与文献报道基本一致<sup>[20]</sup>，故鉴定化合物 6 为去氢二异丁香酚。

**化合物 7：**黄色油状物，ESI-MS *m/z*: 363.1567 [M+Na]<sup>+</sup>，分子式为 C<sub>21</sub>H<sub>24</sub>O<sub>4</sub>。<sup>1</sup>H-NMR (CDCl<sub>3</sub>, 500 MHz) δ: 6.98 (1H, d, *J*=1.8 Hz, H-2')，6.95 (1H, dd, *J*=8.2, 1.9 Hz, H-6')，6.84 (1H, d, *J*=8.2 Hz, H-5')，6.79 (1H, s, H-6)，6.77 (1H, s, H-4)，6.36 (1H, dd, *J*=15.7, 1.3 Hz, H-8)，6.07 ~ 6.15 (1H, m, H-9)，5.12 (1H, d, *J*=9.7 Hz, H-2)，3.88 (3H, s, OCH<sub>3</sub>)，3.87 (3H, s, OCH<sub>3</sub>)，3.85 (3H, s, OCH<sub>3</sub>)，3.43 ~ 3.50 (1H, m, H-3)，1.87 (3H, d, *J*=5.7 Hz, 10-CH<sub>3</sub>)，1.38 (3H, d, *J*=6.8 Hz, 3-CH<sub>3</sub>)；<sup>13</sup>C NMR (CDCl<sub>3</sub>, 125 MHz) δ: 149.2 (C-3'，C-4')，146.7 (C-7a)，144.3 (C-7)，133.4 (C-3a)，132.7 (C-1')，132.3 (C-5)，131.0 (C-8)，123.7 (C-9)，119.4 (C-6')，113.4 (C-6)，110.8 (C-5')，109.6 (C-4)，109.3 (C-2')，93.8 (C-2)，56.0 (OCH<sub>3</sub> × 3)，45.7 (C-3)，18.5 (10-CH<sub>3</sub>)，17.6 (3-CH<sub>3</sub>)。以上波谱数据与文献报道基本一致<sup>[21]</sup>，故鉴定化合物 7 为反式-2,3-二氢-7-甲氧基-2-(3,4-二甲氧基苯基)-3-甲基-5-(1-(E)-丙烯基)苯并呋喃。

**化合物 8：**无色油状物，ESI-MS *m/z*: 409.1623 [M+Na]<sup>+</sup>，分子式为 C<sub>22</sub>H<sub>26</sub>O<sub>6</sub>。<sup>1</sup>H-NMR (CDCl<sub>3</sub>, 600 MHz) δ: 6.57 (2H, s, H-2, H-6)，6.49 (1H, d, *J*=1.1 Hz,

H-2')，6.38 (1H, d, *J*=1.3 Hz, H-6')，5.91 ~ 5.98 (1H, m, H-8')，5.05 ~ 5.11 (2H, m, H-9')，4.56 (1H, d, *J*=7.9 Hz, H-7)，4.07 ~ 4.12 (1H, m, H-8)，3.89 (3H, s, OCH<sub>3</sub>)，3.88 (6H, s, 2'-OCH<sub>3</sub>, 6'-OCH<sub>3</sub>)，3.86 (3H, s, OCH<sub>3</sub>)，3.30 (2H, d, *J*=6.7 Hz, H-7')，1.26 (3H, d, *J*=6.4 Hz, H-9)；<sup>13</sup>C NMR (CDCl<sub>3</sub>, 150 MHz) δ: 153.6 (C-3, C-5)，148.7 (C-5')，144.4 (C-3')，138.4 (C-4)，137.4 (C-8')，132.6 (C-1, C-1')，131.3 (C-4')，116.0 (C-9')，109.7 (C-2')，104.7 (C-6')，104.4 (C-2, C-6)，81.1 (C-7)，74.2 (C-8)，61.0 (OCH<sub>3</sub> × 2)，56.3 (OCH<sub>3</sub> × 2)，40.2 (C-7')，17.5 (C-9)。以上波谱数据与文献报道基本一致<sup>[22]</sup>，故鉴定化合物 8 为(-)-euisiderin A。

**化合物 9：**无色油状物，ESI-MS *m/z*: 385.1656 [M+H]<sup>+</sup>，分子式为 C<sub>22</sub>H<sub>24</sub>O<sub>6</sub>。<sup>1</sup>H-NMR (CDCl<sub>3</sub>, 500 MHz) δ: 6.44 ~ 6.73 (6H, m, Ar-H)，5.95 (2H, s, -OCH<sub>2</sub>O-)，5.92 (2H, s, -OCH<sub>2</sub>O-)，5.51 (1H, d, *J*=9.7 Hz, H-7)，2.39 (2H, dd, *J*=7.7, 3.5 Hz, H-7')，2.00 (3H, s, OAc)，1.89 ~ 1.93 (1H, m, H-8)，1.51 ~ 1.57 (2H, m, H-8')，0.92 (3H, d, *J*=6.8 Hz, H-9)，0.78 (3H, d, *J*=6.8 Hz, H-9')；<sup>13</sup>C NMR (CDCl<sub>3</sub>, 125 MHz) δ: 170.5 (C=O)，147.8 (C-3)，147.6 (C-3')，147.3 (C-4)，145.7 (C-4')，134.7 (C-1')，133.7 (C-1)，121.9 (C-6')，121.4 (C-6)，109.4 (C-5')，108.1 (C-5, C-2')，107.7 (C-2)，101.2 (-OCH<sub>2</sub>O-)，100.9 (-OCH<sub>2</sub>O-)，79.4 (C-7)，41.5 (C-7')，39.9 (C-8)，34.8 (C-8')，21.4 (OCH<sub>3</sub>)，14.0 (C-9')，9.9 (C-9)。以上波谱数据与文献报道基本一致<sup>[23]</sup>，故鉴定化合物 9 为 acetyl oleiferin C。

**化合物 10：**无色油状物，ESI-MS *m/z*: 255.1747 [M-H]<sup>-</sup>，分子式为 C<sub>18</sub>H<sub>24</sub>O。<sup>1</sup>H-NMR (CDCl<sub>3</sub>, 500 MHz) δ: 7.27 (2H, d, *J*=8.6 Hz, H-2, H-6)，6.79 (2H, d, *J*=8.5 Hz, H-3, H-5)，6.28 (1H, d, *J*=16.2 Hz, H-7)，6.08 (1H, d, *J*=16.2 Hz, H-8)，5.91 (1H, dd, *J*=17.5, 10.7 Hz, H-17)，5.12 ~ 5.15 (1H, m, H-12)，5.02 ~ 5.07 (2H, m, H-18)，4.95 (1H, s, 4-OH)，1.98 (2H, dd, *J*=16.4, 7.5 Hz, H-11)，1.70 (3H, s, 15-CH<sub>3</sub>)，1.62 (3H, s, 14-CH<sub>3</sub>)，1.50 ~ 1.54 (2H, m, H-10)，1.22 (3H, s, 16-CH<sub>3</sub>)；<sup>13</sup>C NMR (CDCl<sub>3</sub>, 125 MHz) δ: 154.8 (C-4)，146.1 (C-17)，136.0 (C-8)，131.4 (C-13)，131.1 (C-1)，127.5 (C-2, C-6)，126.6 (C-7)，125.0 (C-12)，

115.5(C-3,C-5),112.0(C-18),42.7(C-9),41.4(C-10),25.8(15-CH<sub>3</sub>),23.5(16-CH<sub>3</sub>),23.4(C-11),17.8(14-CH<sub>3</sub>)。以上波谱数据与文献报道基本一致<sup>[24]</sup>,故鉴定化合物**10**为补骨脂酚。

**化合物11:**无色油状物,ESI-MS *m/z*:197.0809 [M-H]<sup>+</sup>,分子式为C<sub>10</sub>H<sub>14</sub>O<sub>4</sub>。<sup>1</sup>H-NMR((CD<sub>3</sub>)<sub>2</sub>CO,600 MHz)*δ*:7.33(1H,s,4'-OH),6.86(1H,d,*J*=1.8 Hz,H-2'),6.72(1H,d,*J*=8.0 Hz,H-5'),6.67(1H,dd,*J*=8.0,1.9 Hz,H-6'),3.81(3H,s,OCH<sub>3</sub>),3.75~3.79(1H,m,H-2),3.48~3.50(1H,m,H-1b),3.39~3.43(1H,m,H-1a),2.72(1H,dd,*J*=13.7,5.6 Hz,H-3b),2.60(1H,dd,*J*=13.7,7.3 Hz,H-3a);<sup>13</sup>C NMR ((CD<sub>3</sub>)<sub>2</sub>CO,150 MHz)*δ*:148.1(C-3'),145.7(C-4'),131.4(C-1'),122.7(C-6'),115.5(C-5'),113.9(C-2'),74.1(C-2),66.5(C-1),56.2(3-OCH<sub>3</sub>),40.4(C-3)。以上波谱数据与文献报道基本一致<sup>[25]</sup>,故鉴定化合物**11**为3-(4-羟基-3-甲氧苯基)丙烷-1,2-二醇。

**化合物12:**黄色油状物,ESI-MS *m/z*:195.1009 [M+H]<sup>+</sup>,分子式为C<sub>11</sub>H<sub>14</sub>O<sub>3</sub>。<sup>1</sup>H-NMR(CDCl<sub>3</sub>,500 MHz)*δ*:6.83(1H,d,*J*=8.1 Hz,H-5'),6.75(1H,dd,*J*=8.1,1.7 Hz,H-6'),6.70(1H,d,*J*=1.7 Hz,H-2'),3.86(6H,s,OCH<sub>3</sub>),3.62(2H,s,H-1),2.14(3H,s,3-CH<sub>3</sub>);<sup>13</sup>C NMR(CDCl<sub>3</sub>,125 MHz)*δ*:206.9(C-2),149.3(C-3'),148.3(C-4'),126.9(C-1'),121.7(C-2'),112.6(C-5),111.6(C-6'),56.0(OCH<sub>3</sub>),56.0(OCH<sub>3</sub>),50.7(C-1),29.2(C-3)。以上波谱数据与文献报道基本一致<sup>[26]</sup>,故鉴定化合物**12**为1-(3,4-二甲氧基苯基)丙烷-2-酮。

**化合物13:**黄色固体,ESI-MS *m/z*:325.1434 [M+H]<sup>+</sup>,分子式为C<sub>20</sub>H<sub>20</sub>O<sub>4</sub>。<sup>1</sup>H-NMR((CD<sub>3</sub>)<sub>2</sub>CO,500 MHz)*δ*:13.50(1H,s,2'-OH),7.95(1H,s,H-6'),7.82(1H,d,*J*=15.4 Hz,H-8),7.73(1H,d,*J*=15.4 Hz,H-7),7.70(2H,d,*J*=8.6 Hz,H-2,H-6),6.93(2H,d,*J*=8.6 Hz,H-3,H-5),6.41(1H,s,H-3'),5.34(1H,ddt,*J*=8.5,5.6,2.8,1.3 Hz,H-8'),3.30(2H,d,*J*=7.1 Hz,H-7'),1.73(3H,s,H-11'),1.72(3H,s,H-10');<sup>13</sup>C NMR((CD<sub>3</sub>)<sub>2</sub>CO,125 MHz)*δ*:191.8(C=O),165.0(C-4'),162.5(C-2'),160.1(C-4),143.9(C-8),131.5(C-9'),131.3(C-6'),130.7(C-2,C-6),126.7(C-1),123.0(C-8'),120.4(C-5'),117.5(C-7),

115.9(C-3,C-5),113.4(C-1'),102.6(C-3'),27.9(C-7'),24.9(C-10'),17.0(C-11')。以上波谱数据与文献报道基本一致<sup>[27]</sup>,故鉴定化合物**13**为broussochalcone B。

**化合物14:**黄色油状物,ESI-MS *m/z*:361.1407 [M+Na]<sup>+</sup>,分子式为C<sub>21</sub>H<sub>22</sub>O<sub>4</sub>。<sup>1</sup>H-NMR(CDCl<sub>3</sub>,500 MHz)*δ*:7.68(1H,s,H-5),7.34(2H,d,*J*=8.5 Hz,H-2',H-6'),6.90(2H,d,*J*=8.6 Hz,H-3',H-5'),6.44(1H,s,H-8),5.88(1H,s,4'-OH),5.38(1H,dd,*J*=13.4,2.8 Hz,H-2),5.27(1H,t,*J*=8.0 Hz,H-2"),3.84(3H,s,7-OCH<sub>3</sub>),3.24(2H,d,*J*=7.3 Hz,H-1"),3.04(1H,dd,*J*=16.9,13.4 Hz,H-3b),2.78(1H,dd,*J*=16.9,2.9 Hz,H-3a),1.73(3H,s,H-4"),1.69(3H,s,H-5");<sup>13</sup>C NMR(CDCl<sub>3</sub>,125 MHz)*δ*:191.6(C-4),164.4(C-7),162.6(C-9),156.5(C-4'),133.2(C-3"),131.0(C-1'),128.1(C-2',C-6'),127.2(C-5),125.1(C-6),121.8(C-2"),115.8(C-3',C-5'),114.0(C-10),99.0(C-8),79.9(C-2),55.9(7-OCH<sub>3</sub>),44.2(C-3),27.9(C-1"),26.0(C-4"),17.9(C-5")。以上波谱数据与文献报道基本一致<sup>[28]</sup>,故鉴定化合物**14**为bavachinin。

**化合物15:**黄绿色油状物,ESI-MS *m/z*:359.1852 [M+H]<sup>+</sup>,分子式为C<sub>22</sub>H<sub>26</sub>O<sub>5</sub>。<sup>1</sup>H-NMR(CD<sub>3</sub>OD,500 MHz)*δ*:7.20(1H,t,*J*=8.2 Hz,H-19),6.67(1H,d,*J*=8.0 Hz,H-14),6.61(1H,d,*J*=1.4 Hz,H-11),6.49(1H,dd,*J*=8.0,1.5 Hz,H-15),6.35(2H,d,*J*=8.2 Hz,H-18,H-20),3.12(2H,t,*J*=7.4 Hz,H-2),2.45(2H,t,*J*=7.6 Hz,H-9),1.65~1.71(2H,m,CH<sub>2</sub>-3),1.54~1.59(2H,m,CH<sub>2</sub>-8),1.29~1.38(8H,m,CH<sub>2</sub>-4,5,6,7);<sup>13</sup>C NMR(CD<sub>3</sub>OD,125 MHz)*δ*:209.7(C-1),163.4(C-17,C-21),146.0(C-12),144.0(C-13),136.8(C-19),135.8(C-10),120.6(C-15),116.5(C-11),116.2(C-14),111.4(C-16),108.3(C-18,C-20),45.7(C-2),36.3(C-9),32.9(C-8),30.6(C-5,C-6),30.5(C-4),30.3(C-7),25.8(C-3)。以上波谱数据与文献报道基本一致<sup>[29]</sup>,故鉴定化合物**15**为malabaricone C。

**1.4 抗炎活性实验** 采用MTT法检测化合物对细胞活力影响,将RAW 264.7细胞按密度为4×10<sup>4</sup>/孔接种于96孔板,37℃培养箱中培养24 h,加入含不同浓度的化合物继续培养24 h。设置正常对照组和

空白对照组,每孔加入20 μL MTT(5 mg/mL),继续培养3.5 h后,吸去板内培养液,每孔加入150 μL DMSO,避光振荡10 min使其混匀,多功能读板机490 nm处测量吸光度值<sup>[30]</sup>。

采用Griess法进行体外抑制一氧化氮作用筛选,取生长状态良好的RAW 264.7细胞,按密度为4×10<sup>4</sup>/孔接种于96孔板,37 ℃培养箱中培养24 h,设置对照组、模型组和给药组并继续培养24 h。收集上清后加入Griess试剂,多功能读板机540 nm处测量吸光度值<sup>[31]</sup>。

活性筛选结果见表1。

表1 分离化合物对LPS诱导的RAW 264.7细胞NO生成抑制活性( $\bar{x} \pm s, n=3$ )

化合物 <sup>a</sup>	IC <sub>50</sub> /(μmol·L <sup>-1</sup> )	CC <sub>50</sub> /(μmol·L <sup>-1</sup> )
石油醚部位萃取物 <sup>b</sup>	61.08±5.76	>100
乙酸乙酯部位萃取物 <sup>b</sup>	22.53±2.84	>100
挥发油 <sup>b</sup>	>100	>100
<b>1</b>	34.48±3.05	>100
<b>7</b>	42.76±1.53	>100
<b>13</b>	8.57±0.11	69.633±12.03
<b>15</b>	12.01±1.27	25.53±3.47
L-NMMA <sup>b</sup>	11.18±0.46	>100

注:a 化合物**2~6,8~12,14**未显示抑制活性;b 单位为μg/mL

1.5 数据处理 数据利用SPSS 24.0统计软件进行数据处理及统计分析,实验数据采用均数±标准差( $\bar{x} \pm s$ )表示,组间比较采用单因素方差分析(ANOVA)统计,统计结果 $P<0.05$ , $P<0.01$ , $P<0.001$ 为差异有统计学意义。

## 2 结果与讨论

本研究综合运用硅胶柱色谱、薄层制备、中压及常压反相ODS柱色谱、Sephadex LH-20凝胶柱色谱、半制备HPLC等多种分离纯化技术,结合核磁共振、质谱等波谱鉴定技术对肉豆蔻的化学成分进行研究,从中分离鉴定了15个化合物。化合物**1~9**为木脂素类化合物,化合物**1~4**为8-O-4'型木脂素,化合物**6~7**为苯并呋喃型木脂素,是肉豆蔻中的主要成分类型;化合物**5**和**8**为二氧六环型木脂素,首次从该属

植物中报道;化合物**9**为二苄基丁烷型木脂素,首次从该属植物中分离得到;化合物**10**为异戊二烯基酚萜类化合物,首次从该属植物中分离得到;化合物**11~12**为简单苯丙素,首次从该属植物中分离得到;化合物**13~14**为黄酮类化合物,首次从该属植物中分离得到;化合物**15**为二芳基烷烃类化合物。该研究结果进一步揭示肉豆蔻的化学成分,为活性研究提供了物质基础。

抗炎活性结果表明,化合物**13**和**15**对LPS诱导的RAW 264.7细胞NO释放有较强抑制活性,其IC<sub>50</sub>分别为(8.57±0.11)和(12.01±1.27)μmol·L<sup>-1</sup>。化合物**1**和**7**显示一定抑制活性,其IC<sub>50</sub>分别为(34.48±3.05)和(42.76±1.53)μmol·L<sup>-1</sup>。以上结果丰富了肉豆蔻的抗炎活性,为进一步开发利用肉豆蔻的药用价值和开展后续研究提供了参考。

## 参考文献:

- [1] 马存,洗少华,相雨,等.肉豆蔻药理作用研究进展[J].中现代中药,2017,19(8):1200~1206.
- [2] 国家药典委员会.中华人民共和国药典:一部[M].北京:中国医药科技出版,2020:141.
- [3] MORIKAWA T,HACHIMAN I,MATSUO K,et al. Neolignans from the arils of *Myristica fragrans* as potent antagonists of CC chemokine receptor 3[J]. J Nat Prod,2016,79(8):2005~2013.
- [4] KAPOOR I,SINGH B,SINGH G,et al. Chemical composition and antioxidant activity of essential oil and oleoresins of nutmeg (*Myristica fragrans* Houtt.) fruits[J]. Int J Food Prop,2013,16(5):1059~1070.
- [5] DUAN L,TAO H W,HAO X J,et al. Cytotoxic and antioxidative phenolic compounds from the traditional Chinese medicinal plant,*Myristica fragrans* [J]. Planta Med,2009,75(11):1241~1245.
- [6] NGUYEN P H,LE T V T,KANG H W,et al. AMP-activated protein kinase (AMPK) activators from *Myristica fragrans* (nutmeg) and their anti-obesity effect [J]. Bioorg Med Chem Lett,2010,20(14):4128~4131.
- [7] ACUÑA U M,CARCACHE P J B,MATTHEW S,et al. New acyclic bis phenylpropanoid and neolignans,from *Myristica fragrans* Houtt., exhibiting PARP-1 and NF-κB inhibitory effects[J]. Food Chem,2016,202:269~275.
- [8] CHUMKAEW P,SRISAWAT T. New neolignans from the

- seeds of *Myristica fragrans* and their cytotoxic activities [J]. *J Nat Med*, 2019, 73(1):273–277.
- [9] MORIKAWA T, HACHIMAN I, NINOMIYA K, et al. Degranulation inhibitors from the arils of *Myristica fragrans* in antigen-stimulated rat basophilic leukemia cells[J]. *J Nat Med*, 2018, 72(2):464–473.
- [10] 季霄, 吴士龙, 贾天柱, 等. 肉豆蔻的化学成分研究[J]. 中草药, 2014, 45(23):3367–3372.
- [11] OLAJIDE O A, MAKINDE J M, AWE S O. Evaluation of the pharmacological properties of nutmeg oil in rats and mice[J]. *Pharm Biol*, 2000, 38(5):385–390.
- [12] CAO G Y, YANG X W, XU W, et al. New inhibitors of nitric oxide production from the seeds of *Myristica fragrans*[J]. *Food Chem Toxicol*, 2013, 62:167–171.
- [13] ZHANG C R, JAYASHRE E, KUMAR P S, et al. Antioxidant and antiinflammatory compounds in nutmeg (*Myristica Fragrans*) pericarp as determined by in vitro assays [J]. *Nat Prod Commun*, 2015, 10(8):1399–1402.
- [14] VAKENTE V M M, JHAM G N, DHINGRA O D, et al. Composition and antifungal activity of the Brazilian *Myristica fragrans* Houtt. essential oil[J]. *J Food Saf*, 2011, 31:197–202.
- [15] YANG S, NA M K, JANG J P, et al. Inhibition of protein tyrosine phosphatase 1B by lignans from *Myristica fragrans*[J]. *Phytother Res*, 2006, 20(8):680–682.
- [16] HATTORI M, HADA S, SHU Y Z, et al. New acyclic bis phenylpropanoids from the aril of *Myristica fragrans*[J]. *Chem Pharm Bull*, 1987, 35(2):668–674.
- [17] 杨秀伟, 黄鑫, 艾合买提·买买提. 肉豆蔻中新的新木脂素类化合物[J]. 中国中药杂志, 2008, 33(4):397–402.
- [18] HADA S, HATTORI M, TEZUKA Y, et al. New neolignans and lignans from the aril of *Myristica fragrans*[J]. *Phytochemistry*, 1988, 27(2):563–568.
- [19] SAWASDEE K, CHAOWASKU T, LIPIPUN V, et al. New neolignans and a lignan from *Miliusa fragrans*, and their anti-herpetic and cytotoxic activities[J]. *Tetrahedron Lett*, 2013, 54(32):4259–4263.
- [20] 李秀芳, 吴立军, 贾天柱, 等. 肉豆蔻的化学成分[J]. 沈阳药科大学学报, 2006(11):698–701, 734.
- [21] HATTORI M, YANG X W, SHU Y Z, et al. New constituents of the aril of *Myristica fragrans*[J]. *Chem Pharm Bull*, 1988, 36(2):648–653.
- [22] PILKINTON L I, BARKER D. Asymmetric synthesis and CD investigation of the 1,4-benzodioxane lignans eu-siderins A, B, C, G, L, and M[J]. *J Org Chem*, 2012, 77(18):8156–8166.
- [23] STEFANELLO M E A, ALVARENGA M A, TOMA I N. New neolignans from *Talauma ovata*[J]. *Fitoterapia*, 2002, 73(2):135–139.
- [24] 高胡彤悦, 高盼盼, 殷应达, 等. 补骨脂的化学成分研究[J]. 中国药物警戒, 2021, 18(6):556–561.
- [25] KIKUZAKI H, HARA S, KAWAI Y, et al. Antioxidative phenylpropanoids from berries of *Pimenta dioica*[J]. *Phytochemistry*, 1999, 52(7):1307–1312.
- [26] 王扣, 秦红波, 李明月. (±)-Galbulin 和 (±)-8,8'-epiaristoligone 的全合成[J]. 有机化学, 2016, 36(12):2928–2932.
- [27] MATSUMOTO J, FUJIMOTO T, TAKINO C, et al. Components of *Broussonetia papyrifera* (L.) Vent. I. Structures of two new isoprenylated flavonols and two chalcone derivatives[J]. *Chem Pharm Bull*, 1985, 33(8):3250–3256.
- [28] LEE M H, KIM J Y, RYU J H. Prenylflavones from *Psoralea corylifolia* inhibit nitric oxide synthase expression through the inhibition of I-kappaB-alpha degradation in activated microglial cells[J]. *Biol Pharm Bull*, 2005, 28(12):2253–2257.
- [29] MAIA A, SCHMITZ-AFONSO I, MARTIN M T, et al. Acylphenols from *Myristica crassa* as new acetylcholinesterase inhibitors[J]. *Planta Med*, 2008, 74(12):1457–1462.
- [30] ZHAN R, LI D D, LIU Y L, et al. Structural elucidation, bio-inspired synthesis, and biological activities of cyclic diarylpropanes from *Horsfieldia kingii*[J]. *Tetrahedron*, 2020, 76(40):131494.
- [31] 李大山, 曾天艳, 马莎, 等. 肉豆蔻中二芳基丙烷类抗炎活性成分[J]. 天然产物研究与开发, 2021, 33(5):779–783.

(收稿日期:2022-12-27)